

Grundlagen der Technischen Informatik

Für Bachelor-Studierende geeignet

» Hier geht's
direkt
zum Buch

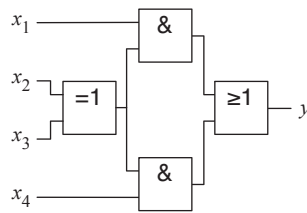
DIE LESEPROBE

6 Minimierung

In diesem Kapitel werden Sie . . .

- die typischen Minimierungsziele des Schaltungsentwurfs kennen lernen,
- ein Grundverständnis für Kostenfunktionen entwickeln,
- das Konstruktionsprinzip von Karnaugh-Veitch-Diagrammen verstehen,
- erlernen, wie sich boolesche Funktionen mit Hilfe von Karnaugh-Veitch-Diagrammen grafisch minimieren lassen,
- mit dem Quine-McCluskey-Verfahren einen alternativen Weg zur Schaltungsminimierung beschreiten.





	x_4	x_3	x_2	x_1	y
0	0	0	0	0	0
1	0	0	0	1	0
2	0	0	1	0	0
3	0	0	1	1	1
4	0	1	0	0	0
5	0	1	0	1	1
6	0	1	1	0	0
7	0	1	1	1	0
8	1	0	0	0	0
9	1	0	0	1	0
10	1	0	1	0	1
11	1	0	1	1	1
12	1	1	0	0	1
13	1	1	0	1	1
14	1	1	1	0	0
15	1	1	1	1	0

Abbildung 6.1: Strukturbild und Wahrheitstabelle unseres Schaltnetzbeispiels

6.1 Minimierungsziele

In den beiden vorangegangenen Kapiteln haben wir mit der booleschen Algebra das mathematische Fundament zur formalen Beschreibung beliebiger Schaltfunktionen geschaffen und gezeigt, wie sich mit Hilfe der elementaren Logikgatter selbst komplexe Funktionen auf direktem Weg in Hardware-Schaltungen übersetzen lassen. Eine wichtige Erkenntnis dieser Überlegungen wollen wir an dieser Stelle nochmals aufgreifen: Auf der Logikebene besitzt jede boolesche Funktion mehr als eine Darstellung, die jede für sich zu einer ganz unterschiedlichen Implementierung auf der Hardware-Ebene führt. Zwei der möglichen Darstellungen haben wir in Form der disjunktiven Normalform (DNF) und der konjunktiven Normalform (KNF) bereits ausführlich untersucht. Für die direkte Umsetzung in eine Digitalschaltung sind beide Normalformdarstellungen allerdings nur bedingt geeignet, da deren Größe, wie in Abschnitt 4.4.1 gezeigt, für die meisten Schaltfunktionen exponentiell mit der Anzahl der Eingangsvariablen wächst.

In der Praxis stellt uns die große Auswahl an Implementierungsmöglichkeiten vor ein ernst zu nehmendes Problem und die Suche nach der optimalen Darstellung ist ein wichtiger Teil der täglichen Arbeit eines Hardware-Entwicklers. In diesem Kapitel wollen wir uns deshalb mit der Frage auseinandersetzen, wie wir unter den vielen verschiedenen Möglichkeiten der Schaltungsdarstellung die optimale Variante auswählen oder von Grund auf konstruieren können.

Zur Lösung dieses Problems bleibt der Hardware-Entwickler glücklicherweise nicht auf sich alleine gestellt. Heute stehen uns zur Minimierung boolescher Ausdrücke leistungsfähige Verfahren zur Seite, mit deren Hilfe die optimale Hardware-Implementierung einer booleschen Funktion nahezu automatisiert erzeugt werden kann. Bevor wir jedoch in die Tiefen der verschiedenen Minimierungsverfahren eintauchen, wollen wir uns nochmals genauer mit der Frage beschäftigen, was wir unter dem Begriff der *optimalen Schaltung* in diesem Zusammenhang eigentlich verstehen müssen.

Hierzu betrachten wir das Schaltnetz in Abbildung 6.1, das uns bereits im vorherigen Kapitel als fruchtbares Beispiel diente. Durch die sukzessive Rückverfolgung der Ausgangsleitung y bis hin zu den Eingängen konnten wir die funktionale Formeldarstellung direkt aus dem Strukturbild ableiten:

$$y = (x_1 \wedge (x_2 \oplus x_3)) \vee (x_4 \wedge (x_2 \oplus x_3))$$

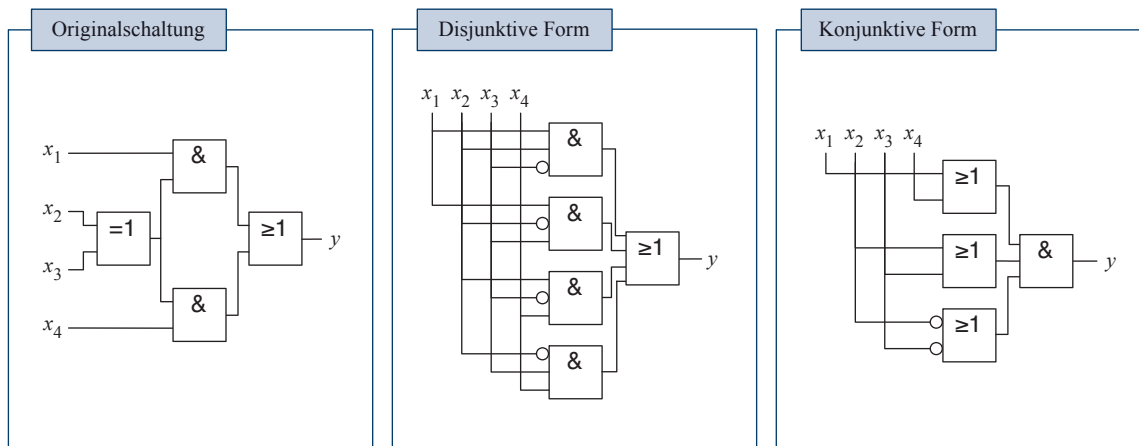


Abbildung 6.2: Die drei Beispielschaltungen im Vergleich

Indem wir den XOR-Operator durch seine disjunktive Darstellung $x_2\bar{x}_3 \vee \bar{x}_2x_3$ ersetzen, können wir den Ausdruck wie folgt umformen:

$$\begin{aligned}
 & (x_1 \wedge (x_2 \oplus x_3)) \vee (x_4 \wedge (x_2 \oplus x_3)) \\
 &= (x_1 \wedge (x_2\bar{x}_3 \vee \bar{x}_2x_3)) \vee (x_4 \wedge (x_2\bar{x}_3 \vee \bar{x}_2x_3)) \\
 &= x_1x_2\bar{x}_3 \vee x_1\bar{x}_2x_3 \vee x_2\bar{x}_3x_4 \vee \bar{x}_2x_3x_4
 \end{aligned}$$

In der transformierten Gleichung wird die boolesche Funktion durch vier konjunktive Terme aufgebaut, die auf der obersten Ebene disjunktiv verknüpft sind. In anderen Worten: Die Formel liegt in *disjunktiver Form* vor.

Die vorgenommene Schaltungstransformation ist natürlich bei weitem nicht die einzig mögliche. Genauso gut können wir die Teilformel $x_2 \oplus x_3$ zunächst mit Hilfe des Distributivgesetzes separieren und den XOR-Operator anschließend durch den äquivalenten Ausdruck $(x_2 \vee x_3) \wedge (\bar{x}_2 \vee \bar{x}_3)$ ersetzen. Auf diese Weise erhalten wir die folgende alternative Schaltungsdarstellung:

$$\begin{aligned}
 & (x_1 \wedge (x_2 \oplus x_3)) \vee (x_4 \wedge (x_2 \oplus x_3)) \\
 &= (x_1 \vee x_4) \wedge (x_2 \oplus x_3) \\
 &= (x_1 \vee x_4) \wedge (x_2 \vee x_3) \wedge (\bar{x}_2 \vee \bar{x}_3)
 \end{aligned}$$

Die drei disjunktiven Unterterme sind auf der obersten Ebene UND-verknüpft, d. h., der erzeugte boolesche Ausdruck liegt jetzt in *konjunktiver Form* vor. Zusammen mit der Originalschaltung haben wir für

Neben den klassischen Minimierungszielen *Fläche* und *Laufzeit* kommen in der Praxis weitere Minimierungsziele hinzu. Insbesondere im Bereich der mobilen Endgeräte spielt die Leistungsaufnahme einer Hardware-Schaltung heute eine zentrale Rolle, da sich der Stromverbrauch unmittelbar auf die Batterielaufzeit auswirkt.

Auch im Bereich des *Home Entertainments* (Wohnzimmer-PC) sind der Leistungsaufnahme enge Grenzen gesetzt. Die hier eingesetzten lüfterlosen Geräte können die mit zunehmendem Stromverbrauch entstehende Wärme weit weniger effizient abführen als z. B. ein aktiv gekühlter Desktop-Computer.

Originalschaltung:

$$C_A = 4$$

$$C_S = 3$$

Disjunktive Form:

$$C_A = 5$$

$$C_S = 2$$

Konjunktive Form:

$$C_A = 4$$

$$C_S = 2$$

Tabelle 6.1: Im Hinblick auf den Flächenverbrauch der verschiedenen Implementierungsvarianten bescheinigt die Metrik C_A sowohl der Originalschaltung als auch der konjunktiven Form die geringsten Kosten. In Bezug auf die Schaltgeschwindigkeit sind, wie die Auswertung der Metrik C_S nahelegt, sowohl die disjunktive als auch die konjunktive Variante der Originalschaltung vorzuziehen.

dieselbe boolesche Funktion damit insgesamt drei verschiedene Darstellungen erzeugt, deren direkte Umsetzungen in Hardware in Abbildung 6.2 dargestellt sind.

Bevor wir unter den drei Schaltungen die optimale Implementierungsvariante bestimmen können, müssen wir uns zunächst auf die *Kriterien* einigen, die wir der Bewertung einer Schaltung zu Grunde legen wollen. Zwei der klassischen Bewertungskriterien im industriellen Hardware-Entwurf haben wir bereits an mehreren Stellen kennen gelernt: den *Flächenbedarf* und die *Laufzeit* einer Hardware-Schaltung.

Kostenfunktionen

In der Praxis wird das Minimierungsziel mit Hilfe einer *Kostenfunktion* modelliert, die jede Schaltung entsprechend der definierten Gütekriterien analysiert und in Form von *Kosten* quantitativ bewertet. Mit der so entstehenden Metrik können verschiedene Hardware-Implementierungen untereinander verglichen werden – je niedriger die Kosten einer Schaltung sind, desto stärker erfüllt die Schaltung die gesetzten Gütekriterien. Die weiter oben formulierten Minimierungsziele *Flächenbedarf* und *Laufzeit* lassen sich beispielsweise wie folgt quantitativ approximieren:

■ C_S = Schaltungstiefe

Die Tiefe einer Schaltung ist definiert als die Anzahl der Logikgatter, die ein Signal von den Eingängen zu den Ausgängen *maximal* durchlaufen muss. Die Schaltungstiefe wird im Hardware-Entwurf als grobes Maß für die Geschwindigkeit einer Hardware-Implementierung eingesetzt.

■ C_A = Gatteranzahl

Die Anzahl der Logikgatter ist ein guter Anhaltspunkt für den Flächenbedarf einer Schaltung. Inverter (NOT-Gatter) zählen wir in diesem Fall nicht zu den Gattern hinzu, da diese auf Transistorebene in Abhängigkeit der gewählten Basistechnologie ohnehin vorliegen oder sich oft ohne zusätzlichen Platzbedarf in die benachbarten Logikgatter integrieren lassen und damit keinen weiteren physikalischen Platz benötigen.

Tabelle 6.1 fasst die Auswertungsergebnisse der beiden Kostenfunktionen C_A und C_S für alle drei Implementierungsvarianten zusammen. Für

beide der verfolgten Minimierungsziele gibt es jedoch keinen eindeutigen Sieger. Offensichtlich sind die Metriken C_A und C_S noch zu grob gewählt und die Frage ist berechtigt, ob wir die Definition der beiden Kostenfunktionen nicht in die eine oder die andere Richtung präzisieren können.

Untersuchten wir die physikalische Implementierung einer Hardware-Schaltung auf Transistorebene, so würden wir feststellen, dass nicht alle Logikgatter die gleiche physikalische Größe besitzen. Gatter mit vielen Eingängen benötigen deutlich mehr Platz als Gatter mit wenigen Eingängen – die Anzahl der Eingänge eines Gatters haben wir in der Definition von C_A bisher jedoch vollständig ignoriert. Die Metrik C_A können wir verbessern, indem wir jedes Gatter mit der Anzahl seiner Eingänge gewichten. Dies führt uns direkt zur Definition der Metrik C'_A :

$$C'_A = \sum_{\text{Gatter } g} \text{Anzahl der Eingänge von } g$$

Die Laufzeitmetrik C_S können wir ebenfalls weiter präzisieren, indem wir sie mit der Flächenmetrik C'_A verschmelzen. Dabei gewichten wir die Laufzeitkosten so hoch, dass sie weiterhin dominieren und die Flächenkosten nur bei gleich schnellen Schaltungen eine Rolle spielen:

$$C'_S = (100 \times C_S) + C'_A$$

Die Auswertung der optimierten Metriken C'_A und C'_S ist in Tabelle 6.2 zusammengefasst. Jetzt sprechen die berechneten Werte eine eindeutige Sprache: Wollen wir eine kompakte und damit kostenökonomische Schaltung herstellen, so sind wir mit der Originalschaltung am besten beraten. Ist uns stattdessen die Schaltgeschwindigkeit wichtig, eignet sich die konjunktive Variante am besten. Die disjunktive Form schaltet zwar gleich schnell, verbraucht jedoch mehr Fläche und ist damit nicht mehr die erste Wahl.

Unsere Betrachtungen zeigen eindringlich, dass die Güte einer Schaltung keine allgemeingültige Eigenschaft ist, sondern in Abhängigkeit des Minimierungsziels stark variiert. Kurzum: Die Güte einer Schaltung ist relativ. Durch die Aufstellung einer geeigneten Kostenfunktion haben wir jedoch die Möglichkeit, den Erfüllungsgrad der Minimierungsziele quantitativ zu messen und damit ein Mittel an der Hand, aus verschiedenen Implementierungen die für uns optimale Schaltung auszuwählen. Ein konkretes Verfahren, mit dessen Hilfe sich eine minimierte Darstellung systematisch erstellen lässt, sind wir bisher allerdings schuldig geblieben. Genau hiermit werden wir uns im nächsten Abschnitt beschäftigen und sehen, wie sich beliebige boolesche Funktionen auf überraschend einfache Weise grafisch minimieren lassen.

In der Praxis stehen dem Hardware-Entwickler weitere Möglichkeiten zur Verfügung, um die Kostenfunktionen zu optimieren. Genau wie im Software-Entwurf auf bestehende Programmibliotheken zurückgegriffen wird, werden im Hardware-Entwurf *Zellbibliotheken* eingesetzt, die genaue Daten über die zur Verfügung stehenden Logikgatter enthalten. Neben der funktionalen Beschreibung jeder Zelle sind dort auch deren Flächenverbrauch und Schaltgeschwindigkeit exakt spezifiziert.

Wie wir bereits in Abschnitt 5.5 herausgearbeitet haben, muss zur Abschätzung der Geschwindigkeit in zunehmendem Maße auch die Leitungsverzögerung in die Kostenfunktion integriert werden. Der Grund hierfür liegt in den heute üblichen, extrem geringen Strukturweiten im zweistelligen Nanometerbereich. Mit der beständigen Zunahme der Integrationsdichte wird die Gesamtgeschwindigkeit immer mehr durch die Leitungsverzögerung (*net delay*) und immer weniger durch die Gatterverzögerung (*gate delay*) bestimmt.

Originalschaltung:

$$C'_A = 8$$

$$C'_S = 308$$

Disjunktive Form:

$$C'_A = 16$$

$$C'_S = 216$$

Konjunktive Form:

$$C'_A = 9$$

$$C'_S = 209$$

Tabelle 6.2: Auswertung der erweiterten Kostenfunktionen für unsere Beispielschaltungen. Die verfeinerte Metrik zeigt, dass die Originalschaltung am kompaktesten und für die Realisierung einer schnellen Schaltung die konjunktive Variante am besten geeignet ist.

6.2 Karnaugh-Veitch-Diagramme

	x_4	x_3	x_2	x_1	y
10	1	0	1	0	1
11	1	0	1	1	1



$$y = x_4 \wedge \bar{x}_3 \wedge x_2$$

	x_4	x_3	x_2	x_1	y
3	0	0	1	1	1
11	1	0	1	1	1



$$y = \bar{x}_3 \wedge x_2 \wedge x_1$$

	x_4	x_3	x_2	x_1	y
12	1	1	0	0	1
13	1	1	0	1	1



$$y = x_4 \wedge x_3 \wedge \bar{x}_2$$

	x_4	x_3	x_2	x_1	y
5	0	1	0	1	1
13	1	1	0	1	1



$$y = x_3 \wedge \bar{x}_2 \wedge x_1$$

	x_4	x_3	x_2	x_1	y
11	1	0	1	1	1
12	1	1	0	0	1



Nicht zusammenfassbar

Tabelle 6.3: Einige benachbarte Zeilen lassen sich durch einen einzigen booleschen Ausdruck gemeinsam repräsentieren, bei anderen ist eine solche Zusammenfassung nicht möglich.

Karnaugh-Veitch-Diagramme, kurz KV-Diagramme, sind eine spezielle grafische Darstellung für boolesche Funktionen, aus der sich eine minimierte zweistufige Schaltungsdarstellung auf einfache Weise ableiten lässt [49, 90]. Um die Idee, die hinter der grafischen Minimierung steckt, genauer zu verstehen, erinnern wir uns zunächst noch einmal an die Ableitungsregel zur Extraktion der disjunktiven Normalform einer booleschen Funktion. Ausgehend von der Wahrheitstafeldarstellung erzeugen wir für jede Variablenbelegung der *Einsmenge* einen *Minterm*, der genau für diese Variablenbelegung zu 1 und für alle anderen Variablenbelegungen zu 0 wird. Die disjunktive Normalform ergibt sich auf einen Schlag durch einfache ODER-Verknüpfung aller Minterme. Das Konstruktionsschema der disjunktiven Normalform wirft die Frage auf, ob wir wirklich für jedes Element der Einsmenge einen eigenen Minterm erzeugen müssen oder vielleicht mehrere Variablenbelegungen durch einen gemeinsamen Teilausdruck repräsentieren können. Die fünf Beispiele in Tabelle 6.3 zeigen, dass sich einige Zeilen der Wahrheitstafel durchaus durch einen einzigen Term charakterisieren lassen, andere hingegen nicht. Damit haben wir die Grundidee der Minimierung nach Karnaugh und Veitch bereits umrissen. Anders als im Fall der Normalform versuchen wir, die Elemente der Einsmenge mit *möglichst wenigen* konjunktiven Termen *vollständig* zu beschreiben. Je mehr Elemente der Einsmenge wir mit einem einzigen konjunktiven Term repräsentieren können, desto kürzer wird die erzeugte Formeldarstellung.

Das unterste Beispiel in Tabelle 6.3 zeigt, dass nicht alle Paare von Variablenbelegungen durch einen einzigen Term charakterisiert werden. Die abgebildeten Beispiele lassen vermuten, dass die Zusammenfassung genau dann möglich ist, wenn sich die Variablenbelegungen in genau einer Variablen – der sogenannten *freien Variablen* – unterscheiden:



Definition 6.1

Gegeben seien zwei Belegungen der Variablen x_1, \dots, x_n . Die Variable x_i heißt *gebunden*, falls sie in beiden Belegungen den gleichen Wert besitzt. Ist die Variable x_i unterschiedlich belegt, so wird sie als *frei* bezeichnet. Zwei Variablenbelegungen heißen *benachbart*, wenn sie sich in genau einer freien Variablen unterscheiden.

Damit lässt sich unsere Vermutung wie folgt formulieren:


Satz 6.1

Zwei Variablenbelegungen lassen sich genau dann durch einen einzigen konjunktiv verknüpften Term repräsentieren, wenn sie im Sinne von Definition 6.1 benachbart sind.

Die Gültigkeit des Satzes ergibt sich ohne Umwege durch Anwendung der Rechenregeln der booleschen Algebra, wie die folgende Umformung exemplarisch an den Variablenbelegungen der zehnten und elften Zeile der Wahrheitstafel zeigt.

$$\begin{aligned}
 & (x_4 \wedge \bar{x}_3 \wedge x_2 \wedge \bar{x}_1) \vee (x_4 \wedge \bar{x}_3 \wedge x_2 \wedge x_1) \\
 &= ((x_4 \wedge \bar{x}_3 \wedge x_2) \wedge \bar{x}_1) \vee ((x_4 \wedge \bar{x}_3 \wedge x_2) \wedge x_1) \\
 &= (x_4 \wedge \bar{x}_3 \wedge x_2) \wedge (\bar{x}_1 \vee x_1) \\
 &= (x_4 \wedge \bar{x}_3 \wedge x_2) \wedge 1 \\
 &= (x_4 \wedge \bar{x}_3 \wedge x_2)
 \end{aligned}$$

In der obigen Umformung werden zunächst die gebundenen Variablen ausgeklammert. Die anschließende Anwendung der Regeln der inversen und neutralen Elemente löscht den verbleibenden Ausdruck aus und die freie Variable verschwindet. Finden wir zwei oder mehr freie Variablen vor, so lassen sich die gebundenen Variablen zwar ebenfalls ausklammern, die Variablen des Restausdrucks löschen sich jedoch nicht mehr aus. Die Zusammenfassung scheidet.

Damit haben wir eines der Kernelemente der von Karnaugh und Veitch verfolgten Minimierungsstrategie freigelegt: Durch die Zusammenfassung benachbarter Variablenbelegungen reduzieren wir sukzessive die Anzahl der zur Darstellung benötigten Teilausdrücke und erhalten auf diese Weise eine minimierte disjunktive Darstellung der Schaltfunktion. Ein Blick auf die Beispiele in Tabelle 6.3 zeigt jedoch, dass es recht schwierig ist, benachbarte Variablenbelegungen im Sinne von Definition 6.1 aus der Wahrheitstafel abzulesen. Weder sind alle benachbarten Belegungen untereinander angeordnet noch sind untereinander angeordnete Variablenbelegungen stets benachbart. Kurzum: Die Wahrheitstafeldarstellung ist zur Schaltungsminimierung denkbar ungeeignet.

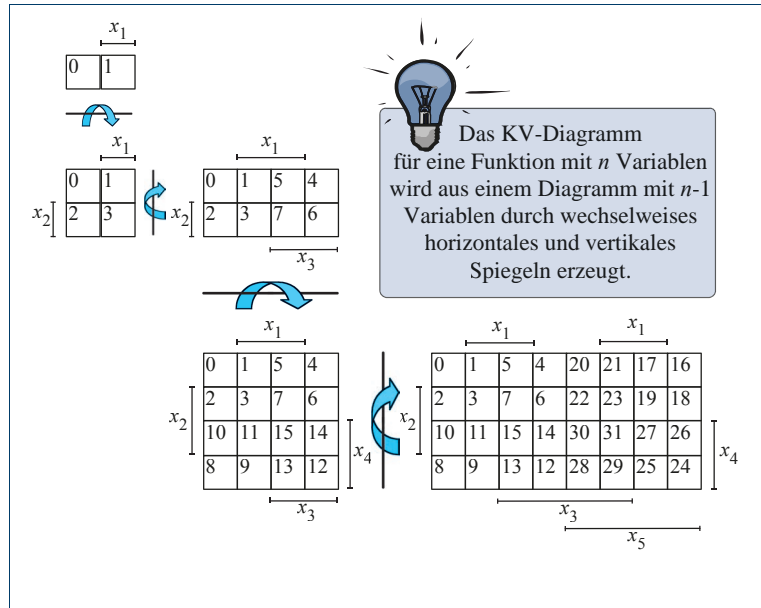
Karnaugh und Veitch erkannten als Erste, dass sich die Wahrheitswerte einer booleschen Funktion intelligenter anordnen lassen, indem wir uns von der tabellarischen Darstellung lösen und die Wahrheitswerte stattdessen in ein zweidimensionales Diagramm eintragen, das nach den Konstruktionsregeln in Abbildung 6.3 erzeugt wird. Das einfachste KV-Diagramm besteht aus genau zwei Feldern und dient zur Darstellung

Die grafische Minimierung mit Hilfe von KV-Diagrammen, wie wir sie heute kennen, geht auf die Arbeiten der beiden Amerikaner Maurice Karnaugh und Edward W. Veitch zurück, die ihre Ergebnisse bereits Anfang der Fünfzigerjahre publizierten. Das folgende Diagramm stammt aus der Originalarbeit von E. Veitch aus dem Jahre 1952 [90]:

		0	0	1	1	w
		0	1	0	1	x
y	z					
0	0	x	x	x		
0	1					
1	0					x
1	1	x	x	x	x	

Veitch hatte als Erster die Idee, die Wahrheitswerte einer booleschen Funktion in einer Matrix anzuordnen. Genau wie im Falle der heute verwendeten Karnaugh-Veitch-Diagramme wird jede konkrete Variablenbelegung durch ein einzelnes Feld repräsentiert. Statt den Funktionswert 0 oder 1 in die Diagrammfelder einzutragen, markierte Veitch alle Einsfelder mit einem Kreuz. Von den Notationsfeinheiten abgesehen, unterscheiden sich die *Veitch-Diagramme* in einem wesentlichen Punkt: Wie die Abbildung zeigt, ordnete Veitch die Variablenbelegungen an den Diagrammrändern entsprechend der normalen binären Zählweise an, so dass sich die Variablenbelegungen benachbarter Felder nicht jeweils in einer einzigen Variablen unterscheiden. Erst Karnaugh entwickelte die Darstellung zur heutigen Form weiter, indem er für die Randmarkierungen nicht mehr das Binärsystem, sondern den Gray-Code als Ordnungsrelation wählte. Erst so ist sichergestellt, dass sich die Variablenbelegungen benachbarter Felder in genau einer Variablen unterscheiden. In dieser Form wurden KV-Diagramme zu dem, was sie heute sind: einem der wichtigsten Hilfsmittel der manuellen zweistufigen Schaltungsminimierung.

Abbildung 6.3: Das Konstruktionsschema von Karnaugh-Veitch-Diagrammen. Jedes Feld des KV-Diagramms repräsentiert eindeutig eine bestimmte Belegung der Eingangsvariablen, die sich anhand der Randmarkierung rekonstruieren lässt. Die Variable x_i wird genau dann mit 1 belegt, wenn sich das entsprechende Feld im Bereich der Randmarkierung x_i befindet. Jedes Feld eines KV-Diagramms entspricht damit genau einer Zeile in der Wahrheitstafel und kann durch Übertragung der Funktionswerte ausgefüllt werden. Die optional angegebenen Zahlen innerhalb der Felder entsprechen den Zeilennummern in der Wahrheitstafeldarstellung.



einstelliger Funktionen $y = f(x_1)$. Das linke Feld beschreibt den Funktionswert $f(0)$ und das rechte Feld den Funktionswert $f(1)$. Größere Diagramme werden durch wechselseitiges horizontales und vertikales Spiegeln erzeugt, so dass sich in jedem Schritt die Anzahl der Variablen um eins erhöht und die Anzahl der Felder verdoppelt. Folgerichtig werden zur Konstruktion des KV-Diagramms für die Darstellung einer n -stelligen Funktion $y = f(x_n, \dots, x_1)$ exakt $(n - 1)$ Spiegelschritte benötigt. Abbildung 6.4 zeigt das ausgefüllte KV-Diagramm für unser Eingangsbeispiel.

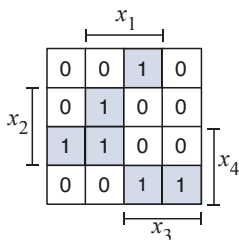


Abbildung 6.4: Das fertig ausgefüllte KV-Diagramm für unser Eingangsbeispiel

Durch das spiegelbasierte Konstruktionsprinzip von KV-Diagrammen ist gewährleistet, dass nebeneinanderliegende Felder im Sinne von Definition 6.1 benachbart sind – eine Eigenschaft, die sich im Übrigen auch über die Ränder des KV-Diagramms hinaus erstreckt. Hierdurch sind wir in der Lage, benachbarte Variablenbelegungen durch die Bildung von Blöcken grafisch zusammenzufassen. Angewendet auf das KV-Diagramm unseres Eingangsbeispiels erhalten wir die in Abbildung 6.5 dargestellte Blocküberdeckung. Sind alle Einsen des KV-Diagramms überdeckt, können wir daraus sofort eine disjunktive Darstellung der repräsentierten Schaltfunktion erzeugen. Dazu berechnen wir die konjunktiven Teilterme für jeden Block und verknüpfen diese anschließend mit Hilfe der ODER-Operation. Die konjunktiven Terme werden als *Implikanten* bezeichnet. Der entstandene Gesamtausdruck ist genau für

diejenigen Variablenbelegungen gleich 1, die in der Überdeckungsmenge liegen, und repräsentiert damit die gesuchte Funktion. Für unser Beispiel ergibt sich die folgende Darstellung, die exakt der weiter oben auf algebraischem Wege gewonnenen disjunktiven Form entspricht:

$$y = (x_1 x_2 \bar{x}_3) \vee (x_1 \bar{x}_2 x_3) \vee (x_2 \bar{x}_3 x_4) \vee (\bar{x}_2 x_3 x_4)$$

Das skizzierte Vorgehen zur Schaltungsminimierung wollen wir anhand der in Tabelle 6.4 spezifizierten Funktion weiter vertiefen. Genau wie in unserem ersten Beispiel konstruieren wir zunächst das KV-Diagramm durch wechselweise Spiegelung und übertragen die Werte der Wahrheitstafel. Anschließend werden benachbarte Felder der Einsmenge durch die Bildung von Zweierblöcken zusammengefasst. Wie in Abbildung 6.6 gezeigt, gibt es hier im Gegensatz zum ersten Beispiel mehrere Möglichkeiten, die Einsmenge zu überdecken. Damit haben wir eine wichtige Eigenschaft der Blockbildung herausgearbeitet:



Die Überdeckung der Einsmenge eines KV-Diagramms ist im Allgemeinen nicht eindeutig.

Eine zweite wichtige Eigenschaft betrifft benachbarte Blöcke, die eine zentrale Eigenschaft der Einzelfelder erben:



Die Implikanten gleich großer benachbarter Blöcke unterscheiden sich in genau einer Variablen.

Als Beispiel betrachten wir die benachbarten Zweierblöcke der KV-Diagramme in Abbildung 6.6. Im ersten Diagramm unterscheiden sich beide Implikanten in der Belegung der Variablen x_3 , im zweiten Diagramm in der Belegung der Variablen x_2 . Damit können wir auch hier Satz 6.1 anwenden und, wie in Abbildung 6.7 gezeigt, beide Blöcke zu einem Viererblock zusammenfassen. Mit jeder Verschmelzung verschwindet die freie Variable im Implikanten des neuen Blocks, so dass der neue Viererblock durch den Implikanten $x_1 \wedge \bar{x}_4$ vollständig und eindeutig beschrieben ist.

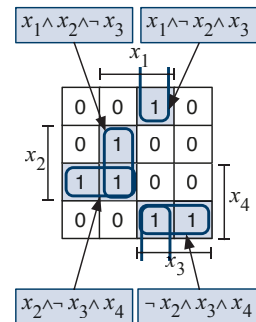


Abbildung 6.5: Benachbarte Felder können zu Blöcken zusammengefasst werden. Jeder Block lässt sich durch einen einzigen konjunktiven Term beschreiben.

	x_4	x_3	x_2	x_1	y
0	0	0	0	0	0
1	0	0	0	1	1
2	0	0	1	0	0
3	0	0	1	1	1
4	0	1	0	0	0
5	0	1	0	1	1
6	0	1	1	0	0
7	0	1	1	1	1
8	1	0	0	0	0
9	1	0	0	1	0
10	1	0	1	0	0
11	1	0	1	1	1
12	1	1	0	0	0
13	1	1	0	1	1
14	1	1	1	0	0
15	1	1	1	1	0

Tabelle 6.4: Die spezifizierte Funktion ist genau dann gleich 1, wenn der aus den Eingangsvariablen gebildete Binärwert ungerade und nur durch eins und sich selbst teilbar ist.

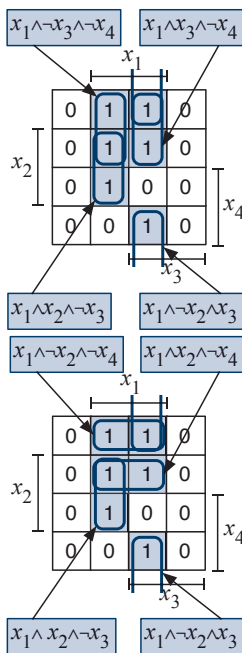


Abbildung 6.6: Die Einsmenge der dargestellten booleschen Funktion kann mit Zweierblöcken auf verschiedene Weise überdeckt werden.

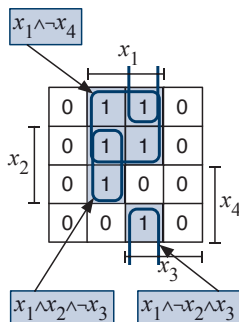


Abbildung 6.7: Benachbarte Zweierblöcke lassen sich zu Viererblöcken zusammenfassen.



Definition 6.2

Kann ein Block in einem KV-Diagramm nicht weiter vergrößert werden, so sprechen wir von einem *Primblock*. In entsprechender Weise bezeichnen wir den zu einem Primblock gehörigen konjunktiven Term als *Primimplikant*.

Die Bildung von Primblöcken bringt uns die folgenden Vorteile:

- Mit zunehmender Blockgröße sinkt die *Anzahl der Variablen*, die zu dessen Beschreibung benötigt werden, und damit die *Größe eines einzelnen Implikanten* in der Formeldarstellung.
- Mit zunehmender Blockgröße sinkt die *Anzahl der Blöcke*, die zur Überdeckung der Einsmenge benötigt werden, und damit die *Gesamtzahl der Implikanten* in der Formeldarstellung.

Damit ist der Weg zur Schaltungsminimierung mit Hilfe von KV-Diagrammen klar umrissen. Nachdem das KV-Diagramm ausgefüllt ist, versuchen wir die Einsmenge mit einer *minimalen Anzahl* von *Primblöcken* zu überdecken. Ist die Überdeckung konstruiert, so erzeugen wir die minimierte Darstellung durch die disjunktive Verknüpfung aller zugehörigen Primimplikanten.

Damit können wir die minimierte Schaltungsdarstellung für unsere Beispielfunktion sofort aus Abbildung 6.7 ablesen:

$$y = (x_1 \wedge \bar{x}_4) \vee (x_1 \wedge x_2 \wedge \bar{x}_3) \vee (x_1 \wedge \bar{x}_2 \wedge x_3)$$

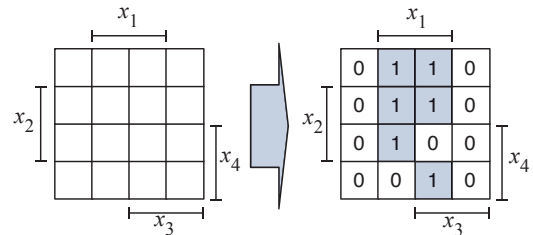
Die korrespondierende Hardware-Schaltung ist in Abbildung 6.9 zu sehen. Abschließend sind in Abbildung 6.8 die einzelnen Schritte des Minimierungsverfahrens in Form einer Übersicht zusammengefasst.

6.2.1 Minimierung partiell definierter Funktionen

Viele der in der Praxis auftretenden Schaltfunktionen sind nur unvollständig definiert. In anderen Worten: Für gewisse Eingabekombinationen spielt der Ausgabewert keine Rolle. Häufig treten partiell definierte Funktionen dann auf, wenn die modellierte Hardware-Komponente als Teilkomponente in eine größere Schaltung eingebettet ist und aufgrund der Struktur der Umgebungslogik nur ganz bestimmte Bitmuster an den

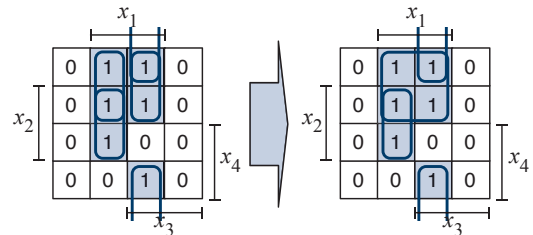
Schritt 1: Erstellung des KV-Diagramms

Ausgehend von dem einfachsten KV-Diagramm mit zwei Feldern wird das KV-Diagramm für n -stellige Funktionen durch abwechselndes horizontales und vertikales Spiegeln erzeugt. Anschließend werden die Funktionswerte aus der Wahrheitstafel in das Diagramm eingezeichnet. Die Variablenbelegung für jedes Feld kann aus der Randmarkierung abgelesen werden.



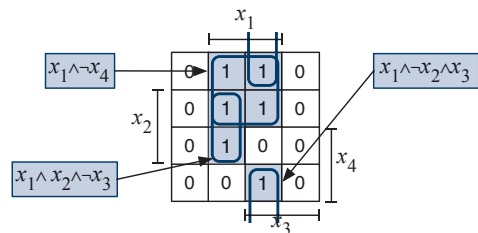
Schritt 2: Bestimmung der Primblöcke

Jedes Feld der Einsmenge des KV-Diagramms wird mit einem Einerblock belegt. Gleich große Nachbarblöcke werden sukzessive zu immer größeren Blöcken zusammengefasst. Die Zusammenfassung wird fortgesetzt, bis keine größeren Blöcke mehr gebildet werden können und damit alle Primblöcke gefunden sind. Bei jeder Zusammenfassung verdoppelt sich die Größe des neu entstehenden Blocks.



Schritt 3: Bestimmung einer vollständigen Überdeckung

Gesucht ist die *kleinste* Menge von Primblöcken, die zusammen die Einsmenge *vollständig* überdecken. Dazu wählen wir zunächst alle Primblöcke aus, die ein einzelnes Feld der Einsmenge *alleine* überdecken. Reichen diese noch nicht zur Überdeckung aller Einsfelder aus, nehmen wir weitere Primblöcke hinzu, bis eine vollständige Überdeckung erreicht ist.



Schritt 4: Extraktion der disjunktiven Minimalform

Jeder Primblock mit 2^k Feldern wird durch einen Primimplikanten mit $n - k$ Variablen charakterisiert. Die *disjunktiven Minimalform* erhalten wir durch einfache ODER-Verknüpfung aller Primimplikanten. Im Allgemeinen gibt es mehrere minimale Überdeckungen für die Einsmenge einer Funktion, so dass auch die disjunktive Minimalform nicht immer eindeutig ist.

$$y = (x_1 \wedge \bar{x}_4) \vee (x_1 \wedge x_2 \wedge \bar{x}_3) \vee (x_1 \wedge \bar{x}_2 \wedge x_3)$$

Abbildung 6.8: Die Minimierung nach Karnaugh und Veitch im Überblick

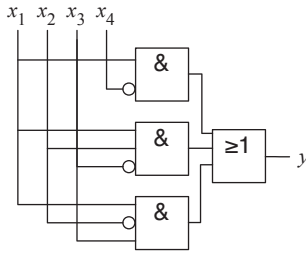


Abbildung 6.9: Hardware-Umsetzung der minimierten disjunktiven Form unserer Beispielfunktion

	x_4	x_3	x_2	x_1	y
0	0	0	0	0	0
1	0	0	0	1	1
2	0	0	1	0	0
3	0	0	1	1	1
4	0	1	0	0	0
5	0	1	0	1	1
6	0	1	1	0	0
7	0	1	1	1	1
8	1	0	0	0	0
9	1	0	0	1	0
10	1	0	1	0	-
11	1	0	1	1	-
12	1	1	0	0	-
13	1	1	0	1	-
14	1	1	1	0	-
15	1	1	1	1	-

Tabelle 6.5: Beschränken wir die Menge der Eingabekombinationen auf die Menge der gültigen BCD-Ziffern, so erhalten wir durch die entstehenden Don't-Care-Belegungen zusätzliche Freiheitsgrade für die Minimierung.

Eingängen generiert werden. In anderen Fällen beschränkt die Spezifikation einer Hardware-Schaltung die auftretenden Eingabekombinationen auf bestimmte Bitmuster.

So könnte beispielsweise die Spezifikation unserer Beispielfunktion aus Abbildung 6.4 regeln, dass die Schaltung ausschließlich für die Klassifikation von BCD-Ziffern verwendet werden darf. Da die gültigen Eingabekombinationen damit nur noch die Zahlen im Bereich von 0 bis 9 umfassen, muss die konstruierte Schaltung nur noch für die Bitmuster 0000 (0) bis 1001 (9) eine definierte Ausgabe erzeugen. Für alle anderen Bitmuster, die sogenannten *Don't-Care-Belegungen*, können wir die Ausgabe stattdessen nach Belieben auf 0 oder 1 setzen. Obwohl der gewählte Wahrheitswert der Don't-Care-Kombinationen für das korrekte Funktionieren keine Rolle spielt, ist eine vorzeitige Festlegung auf einen speziellen Wert nicht ratsam – wir würden uns auf einen Schlag eines erheblichen Minimierungspotenzials entledigen. Aus diesem Grund markieren wir die Funktionswerte aller Don't-Care-Belegungen zunächst mit einem Bindestrich („-“), wie in Tabelle 6.5 dargestellt.

Genau wie oben tragen wir jetzt die Funktionswerte in das durch wechselseitige Spiegelung erzeugte KV-Diagramm ein und fassen benachbarte Felder zu immer größeren Blöcken zusammen. Für alle Felder, die mit „-“ markiert sind, haben wir die freie Wahl, ob wir sie mit einem Block überdecken oder unberücksichtigt lassen. Damit wird das Optimierungspotenzial deutlich, das durch die unvollständige Definition einer booleschen Funktion entsteht. Eine Don't-Care-Kombination nehmen wir genau dann zur Einsmenge hinzu, wenn wir dadurch größere Blöcke und damit eine kürzere Formelardarstellung erhalten.

Abbildung 6.10 zeigt, dass wir für unsere Beispielfunktion eine minimale Überdeckung erhalten, wenn wir *keine* der Don't-Care-Belegungen in die Blockbildung einbeziehen. Damit ist die Schaltfunktion für alle Belegungen der Don't-Care-Menge gleich 0. Wie im abgebildeten KV-Diagramm zu erkennen ist, können wir die Einsmenge dann mit einem einzigen Primblock überdecken und erhalten die folgende reduzierte Schaltungsdarstellung:

$$y = x_1 \wedge \overline{x_4}$$

Das Beispiel zeigt, dass durch die geschickte Ausnutzung der Don't-Care-Belegungen die Größe der Hardware-Implementierung deutlich reduziert werden kann. Die modifizierte Schaltung besteht, wie in Abbildung 6.11 dargestellt, nur noch aus einem einzigen UND-Gatter mit zwei Eingängen und benötigt damit weniger als ein Viertel des Platzbedarfs der Originalschaltung. Wir halten die Strategie für die Minimierung partiell definierter Funktionen wie folgt fest:



Don't-Care-Belegungen werden zunächst in das KV-Diagramm übernommen. Die Funktionswerte werden während der Blockbildung so gewählt, dass maximal große Primblöcke entstehen.

Inverse Blockbildung

Die Minimierung einer Schaltfunktion mit Hilfe von KV-Diagrammen produziert eine minimierte Schaltungsdarstellung in disjunktiver Form. Die Auswahl der kleinsten Menge von Primblöcken zur Überdeckung aller Einsfelder stellt sicher, dass es keine andere disjunktive Form gibt, mit der die gleiche Schaltfunktion kürzer dargestellt werden kann. In anderen Worten: Das Verfahren von Karnaugh und Veitch liefert uns eine disjunktive Minimalform. Mit einem kleinen Trick können wir mit Hilfe des gleichen Verfahrens neben einer disjunktiven Minimalform auch eine konjunktive Minimalform aus dem KV-Diagramm ableiten. Dazu konstruieren wir das KV-Diagramm wie gewohnt, überdecken im Zuge der Blockbildung jedoch nicht die Einsmenge, sondern die Nullmenge der zu minimierenden Funktion.

Zur vollständigen Überdeckung der Nullmenge unserer Primzahlfunktion sind drei Blöcke notwendig, wie das entsprechende KV-Diagramm in Abbildung 6.12 zeigt. Haben wir eine vollständige Überdeckung gefunden, können wir für jeden Block, wie im Falle der disjunktiven Form, einen Primimplikanten ableiten und auf oberster Ebene mit Hilfe der ODER-Operation verbinden. Da wir aber im Gegensatz zu oben die Nullmenge und nicht die Einsmenge überdeckt haben, bildet die resultierende disjunktive Form nicht die Funktion y , sondern deren Negation \bar{y} ab. Fassen wir alle Primimplikanten aus Abbildung 6.12 wie gewohnt zusammen, so erhalten wir das folgende Zwischenergebnis:

$$\bar{y} = (\bar{x}_1) \vee (\bar{x}_2 \wedge \bar{x}_3 \wedge x_4) \vee (x_2 \wedge x_3 \wedge x_4)$$

Obwohl die Funktion in disjunktiver Form vorliegt, sind wir fast am Ziel. Mit Hilfe der Doppelnegation und der Regel von De Morgan können wir die disjunktive Minimalform der Funktion \bar{y} auf einen Schlag in die gesuchte konjunktive Minimalform der Originalfunktion y überführen:

$$\begin{aligned} y &= \overline{\bar{y}} = \overline{(\bar{x}_1) \vee (\bar{x}_2 \wedge \bar{x}_3 \wedge x_4) \vee (x_2 \wedge x_3 \wedge x_4)} \\ &= \overline{(\bar{x}_1)} \wedge \overline{(\bar{x}_2 \wedge \bar{x}_3 \wedge x_4)} \wedge \overline{(x_2 \wedge x_3 \wedge x_4)} \\ &= (x_1) \wedge (x_2 \vee x_3 \vee \bar{x}_4) \wedge (\bar{x}_2 \vee \bar{x}_3 \vee \bar{x}_4) \end{aligned}$$

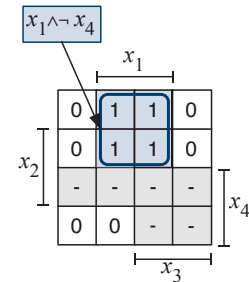


Abbildung 6.10: KV-Diagramm unserer modifizierten Beispielfunktion

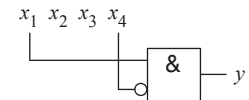


Abbildung 6.11: Hardware-Implementierung unserer Beispielfunktion unter geschickter Ausnutzung der Don't-Care-Belegungen

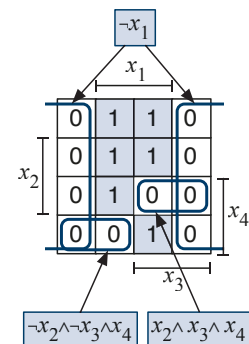
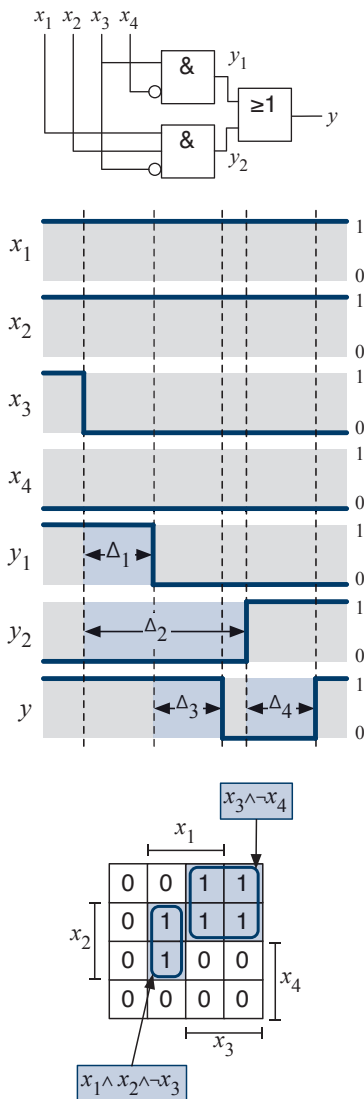


Abbildung 6.12: Erster Schritt zur Erzeugung einer konjunktiven Minimalform: Überdeckung der Nullmenge



Es gilt an dieser Stelle unbedingt zu beachten, dass sich die Polarität aller Variablen durch die Anwendung der Regel von De Morgan umkehrt. Da sich jedoch weder die Anzahl der Primimplikanten ändert noch Variablen hinzukommen oder entfallen, können wir die konjunktive Normalform auch direkt aus dem Diagramm ablesen. Bei der Bestimmung der Primimplikanten müssen wir im Vergleich mit dem Originalverfahren daher die Variablen einfach in umgekehrter Polarität aufnehmen und mit Hilfe der ODER- anstelle der UND-Verknüpfung verbinden. Anschließend werden alle Primimplikanten auf oberster Ebene mit Hilfe der UND-Verknüpfung zu einer konjunktiven Minimalform verbunden.

6.2.2 Konstruktion Hazard-freier Schaltungen

Neben der Erzeugung einer minimierten Darstellung in disjunkti- ver oder konjunktiver Form können KV-Diagramme dazu verwen- det werden, bestimmte Aspekte des Schaltverhaltens einer Hardware- Implementierung zu untersuchen. Insbesondere eröffnet uns die spezi- elle visuelle Anordnung der Funktionswerte die Möglichkeit, mit weni- gen Blicken zu erkennen, ob ein Schaltnetz anfällig gegenüber Logik- Hazards ist. Wie wir in Abschnitt 5.5.2 bereits gelernt haben, sprechen wir von einem Logik-Hazard immer dann, wenn der Wechsel eines ein- zigen Eingangssignals kurzzeitig zu einem Wechsel des Ausgangssi- gnals führen kann, obwohl der Wert des Schaltnetzausgangs nach den Regeln der booleschen Algebra konstant bleiben müsste. Als Grund für die auftretenden *Störimpulse (Hazards)* haben wir die Laufzeitdifferen- zen der verschiedenen Signalwege ausgemacht.

Wir wollen uns der Problematik der Logik-Hazards nun von der Sei- te der KV-Diagramme aus nähern und betrachten hierzu erneut die Hardware-Schaltung, die wir bereits in Abschnitt 5.5.2 zur Demonstra- tion eines Logik-Hazards herangezogen haben. Das Schaltnetz und der verursachende Signalverlauf sind zusammen mit dem entsprechenden KV-Diagramm in Abbildung 6.13 dargestellt.

Abbildung 6.13: Das abgebildete Schalt- netz produziert für den dargestellten Sig- nalwechsel einen Logik-Hazard, wenn die Schaltzeit Δ_2 größer ist als die Summe der Schaltzeiten Δ_1 und Δ_3 . Im KV-Diagramm lassen sich potenzielle Hazards auf einfache Weise erkennen.

Der Störimpuls entstand, da wir in unserem Beispiel die Verzögerungs- zeit Δ_2 größer als die Summe der Verzögerungszeiten Δ_1 plus Δ_3 wäh- lten. Sind die Signale x_1, x_2, x_3 auf 1 und x_4 auf 0, so verursacht der Wechsel von x_3 auf 0 einen Logik-Hazard am Schaltnetzausgang y . Ein genauerer Blick auf den Signalverlauf offenbart, dass der Störimpuls genau deshalb entsteht, da sich aufgrund der Signallaufzeiten *alle* Aus- gänge der UND-Stufe kurzzeitig im Zustand 0 befinden.

Hier kommt uns die Anordnung der Funktionswerte innerhalb des KV-

Diagramms zugute und ermöglicht, das potenzielle Auftreten eines Logik-Hazards einfach zu erkennen. Den im Zeitdiagramm festgehaltenen Störimpuls haben wir erzeugt, indem wir die Belegung der Eingangsvariablen (x_1, x_2, x_3, x_4) von $(1, 1, 1, 0)$ auf $(1, 1, 0, 0)$ wechseln ließen. Die Belegung der Eingangssignale mit $(1, 1, 1, 0)$ wird im KV-Diagramm durch das Feld in der zweiten Zeile und dritten Spalte repräsentiert. Wie in Abbildung 6.14 dargestellt, entspricht der Wechsel der Variablen x_3 von 1 auf 0 der Bewegung um ein Feld nach links.

Werfen wir jetzt einen Blick auf die von uns gebildeten Primblöcke, so wird klar, warum die Ausgänge beider UND-Gatter gleichzeitig den Wert 0 einnehmen können: Beide Blöcke liegen *überlappungsfrei* nebeneinander. Durch das Verlassen des rechten Blocks $x_3 \wedge \bar{x}_4$ fällt das Signal y auf 0 und wird mit dem gegebenen zeitlichen Verhalten erst später durch das Betreten des linken Blocks $x_1 x_2 \bar{x}_3$ wieder zu 1. Wir halten unsere Beobachtung wie folgt fest:



Ein Logik-Hazard kann immer dann entstehen, wenn zwei Primblöcke im KV-Diagramm überlappungsfrei aneinandergrenzen.

Anders formuliert bedeutet die angestellte Überlegung nichts anderes, als dass Logik-Hazards effektiv verhindert werden, wenn für jeden Übergang zwischen zwei Eingangsbelegungen der Einsmenge stets ein Gatter existiert, dessen Ausgangssignal für beide Belegungen gleich 1 ist. In anderen Worten: Eine Schaltfunktion ist gegen Logik-Hazards abgesichert, falls alle Paare benachbarter Einsfelder im KV-Diagramm mindestens einem gemeinsamen Primblock angehören.

Wir bekommen hiermit unmittelbar ein Verfahren zur Seite gestellt, mit dem wir eine Schaltfunktion nachträglich gegen Logik-Hazards absichern können. Anhand des KV-Diagramms überprüfen wir zunächst, ob die Primblöcke so gewählt sind, dass überlappungsfreie Einsübergänge existieren. Ist dies der Fall, überdecken wir sukzessive jede dieser *Nahtstellen* mit einem zusätzlichen Block. Für unsere Beispielschaltung können wir den einzigen überlappungsfreien Übergang beseitigen, indem wir, wie in Abbildung 6.15 gezeigt, den Zweierblock $x_1 \wedge x_2 \wedge \bar{x}_4$ als weiteren Primblock hinzunehmen. Die entstehende Hardware-Implementierung ist ebenfalls dargestellt und entspricht exakt der bereits in Abschnitt 5.5.2 ohne Begründung eingeführten Implementierung.

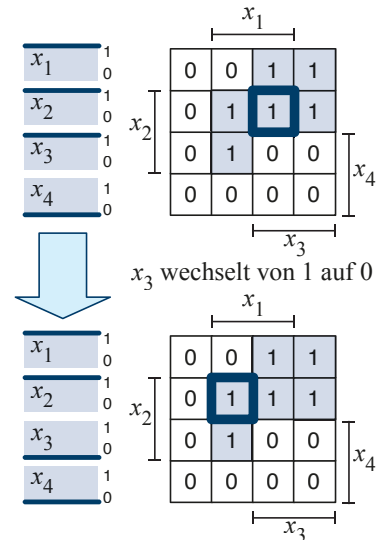


Abbildung 6.14: Der Wechsel des Signals x_3 von 1 auf 0 entspricht im KV-Diagramm der Bewegung um ein Feld nach links.

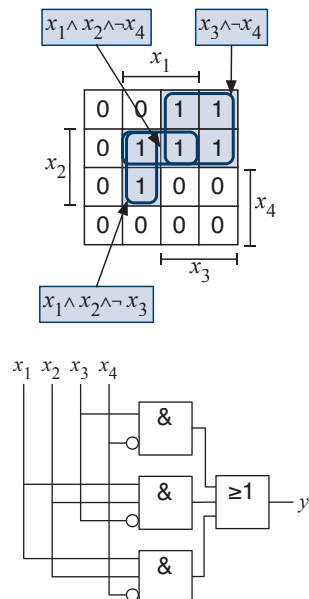
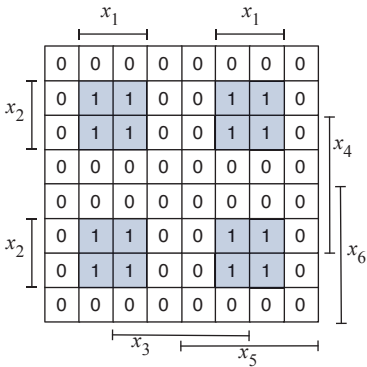
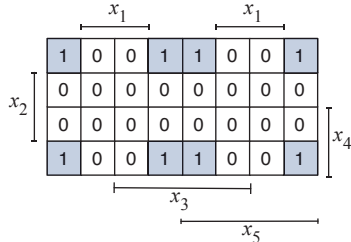


Abbildung 6.15: Beseitigung der Hazard-Problematik durch Hinzufügen eines weiteren Blocks

■ Zweidimensionale Darstellung:



■ Dreidimensionale Darstellung:

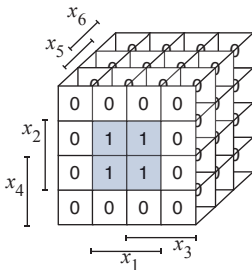
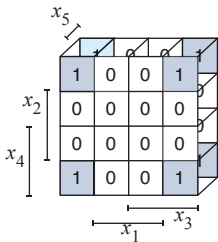


Abbildung 6.16: In KV-Diagrammen mit fünf oder mehr Variablen wird die Blockbildung schwierig.

6.2.3 Minimierung mehrstelliger Funktionen

Alle der bisher betrachteten Beispielschaltungen konnten wir mit Hilfe von KV-Diagrammen auf recht einfache und vor allem effiziente Weise in eine disjunktive oder konjunktive Minimalform überführen. Die Schaltnetze, die wir zur Minimierung herangezogen haben, waren jedoch allesamt vergleichsweise klein, so dass wir uns in diesem Abschnitt mit der Frage beschäftigen wollen, ob sich Schaltfunktionen mit fünf oder mehr Eingangsvariablen genauso einfach minimieren lassen.

Dazu betrachten wir die beiden KV-Diagramme in Abbildung 6.16. Wie im Falle kleinerer Diagramme sind die Variablenbelegungen zweier nebeneinander angeordneter Felder im Sinne von Definition 6.1 benachbart. In anderen Worten: Sie unterscheiden sich in der Belegung von genau einer Variablen. In Diagrammen mit bis zu vier Variablen galt bisher auch die Umkehrung, d. h., die Felder benachbarter Variablenbelegungen grenzen im KV-Diagramm unmittelbar aneinander. Genau diese Eigenschaft geht in Diagrammen mit fünf oder mehr Variablen verloren, mit einschneidenden Konsequenzen für die Blockbildung: Da die Felder benachbarter Variablenbelegungen jetzt weit voneinander entfernt angeordnet sein können, setzen sich viele Blöcke aus mehreren Fragmenten zusammen. Konnten wir die Primblöcke in kleineren Diagrammen mit nahezu einem einzigen Blick ausmachen, so müssen wir jetzt schon genauer hinschauen, um alle zusammenfassbaren Felder zu erkennen. So lassen sich die Einsmengen beider Beispielfunktionen aus Abbildung 6.16 (oben) mit einem einzigen Block überdecken und wir erhalten die folgende Formeldarstellung:

$$\text{Erstes Diagramm: } = \bar{x}_1 \wedge \bar{x}_2$$

$$\text{Zweites Diagramm: } = x_1 \wedge x_2$$

Eine Möglichkeit, das Nachbarschaftsproblem für Diagramme mit fünf oder mehr Variablen zu lösen, ist die dreidimensionale Anordnung der einzelnen Felder, wie in Abbildung 6.16 (unten) gezeigt. Diese Art der Darstellung besitzt jedoch zwei wesentliche Nachteile. Zum einen lässt sich die räumliche Verteilung der Diagrammfelder nur schwierig auf Papier bringen. Zum anderen ist die Erkennung von Blöcken über drei Dimensionen hinweg ein recht schwieriges Unterfangen, so dass diese Diagrammart für die praktische Arbeit insgesamt keine ernsthafte Alternative bietet. Ohnehin wird das Problem durch das Ausweichen in die dritte Dimension lediglich verlagert, da sich auf diese Weise nur Funktionen mit bis zu sechs Variablen darstellen lassen.

6.3 Quine-McCluskey-Verfahren

Mit den KV-Diagrammen haben wir ein effizientes Hilfsmittel zur Minimierung boolescher Funktionen kennen gelernt. Obwohl die Anwendung des Verfahrens auf Funktionen mit fünf oder sechs Variablen immer noch möglich ist, wird die Minimierung durch die kompliziertere Blockbildung erheblich erschwert. Betrachten wir noch größere Funktionen mit sieben oder mehr Variablen, so stößt die grafische Minimierung vollends an ihre Grenzen.

Genau hier setzen die tabellarischen Minimierungsverfahren an, mit deren Hilfe auch vielstellige Funktionen minimiert werden können. Das Quine-McCluskey-Verfahren (QMCV) ist deren bekanntester Vertreter und geht auf die bereits Mitte der Fünfzigerjahre veröffentlichten Arbeiten der beiden Amerikaner Willard Van Orman Quine und Edward J. McCluskey zurück [60, 75]. Die Minimierung nach Quine und McCluskey läuft in drei Schritten ab.

	x_4	x_3	x_2	x_1	y
0	0	0	0	0	0
1	0	0	0	1	1
2	0	0	1	0	0
3	0	0	1	1	1
4	0	1	0	0	0
5	0	1	0	1	1
6	0	1	1	0	0
7	0	1	1	1	1
8	1	0	0	0	0
9	1	0	0	1	0
10	1	0	1	0	0
11	1	0	1	1	1
12	1	1	0	0	0
13	1	1	0	1	1
14	1	1	1	0	0
15	1	1	1	1	0

Schritt 1: Konstruktion der ersten Quine'schen Tabelle

Ähnlich der Minimierung mit Hilfe von KV-Diagrammen werden im Verfahren von Quine und McCluskey benachbarte Variablenbelegungen zu immer größeren Blöcken zusammengefasst. Die Blöcke werden dabei jedoch nicht grafisch markiert, sondern in Form von Tabelleneinträgen untereinander aufgelistet. Die erste Quine'sche Tabelle wird konstruiert, indem zunächst alle Implikanten nullter Ordnung bestimmt werden. Ein solcher Implikant repräsentiert exakt eine Variablenbelegung der Einsmenge und entspricht damit genau einer einzigen Zeile der Wahrheitstafel. Folgerichtig können wir die Implikanten, wie in Tabelle 6.6 gezeigt, ohne weiteres Zutun aus der Wahrheitstafel der zu minimierenden Funktion ablesen.

Ausgehend von den Implikanten nullter Ordnung konstruieren wir, wie in Tabelle 6.7 dargestellt, die Implikanten der Ordnung eins, zwei usw., indem wir alle Variablenbelegungen, die sich in genau einer Variablen unterscheiden, zusammenfassen und in die Tabelle aufnehmen. Zur einfacheren Orientierung tragen wir in die erste Spalte jeweils die Indizes der zusammengefassten Zeilen ein und markieren die zusammengefassten Variablenbelegungen zusätzlich mit einem Haken. Damit das Verfahren eine optimale Lösung produziert, müssen wir darauf achten, *alle* möglichen Implikanten zu berechnen. Das bedeutet, dass wir zur Konstruktion der Implikanten der Ordnung $n + 1$ *alle Paare* von Implikanten



	x_4	x_3	x_2	x_1
1	0	0	0	1
3	0	0	1	1
5	0	1	0	1
7	0	1	1	1
11	1	0	1	1
13	1	1	0	1

Tabelle 6.6: Als Vorbereitung zur Konstruktion der ersten Quine'schen Tabelle werden alle Variablenbelegungen der Einsmenge aus der Wahrheitstafel extrahiert.

Quine'sche Tabelle
nullter Ordnung:

	x_4	x_3	x_2	x_1	
1	0	0	0	1	✓
3	0	0	1	1	✓
5	0	1	0	1	✓
7	0	1	1	1	✓
11	1	0	1	1	✓
13	1	1	0	1	✓

Quine'sche Tabelle
erster Ordnung:

	x_4	x_3	x_2	x_1	
1,3	0	0	-	1	✓
1,5	0	-	0	1	✓
3,7	0	-	1	1	✓
3,11	-	0	1	1	
5,7	0	1	-	1	✓
5,13	-	1	0	1	

Quine'sche Tabelle
zweiter Ordnung:

	x_4	x_3	x_2	x_1
1,3,5,7	0	-	-	1

Tabelle 6.7: Die vollständig entwickelte Quine'sche Tabelle für unsere Beispielfunktion

der Ordnung n untersuchen müssen. Des Weiteren gibt es zu beachten, dass Implikanten der Ordnung zwei oder höher während des Aufbaus der ersten Quine'schen Tabelle stets mehrfach erzeugt werden. Um Duplikate zu vermeiden, wird die Quine'sche Tabelle daher nur mit neuen Implikanten erweitert.

Zwischen den Einträgen der Quine'schen Tabelle und den Blöcken in KV-Diagrammen besteht eine direkte Beziehung. Jeder Implikant der ersten Quine'schen Tabelle der Ordnung n entspricht einem Block im KV-Diagramm, der exakt 2^n Felder überdeckt. Auch die Primimplikanten besitzen einen direkten Partner in der ersten Quine'schen Tabelle – sie entsprechen genau denjenigen Einträgen, die nicht mehr weiter zusammengefasst werden können und daher nicht mit einem Haken markiert sind.

Schritt 2: Konstruktion der Primimplikantentafel

Ist die erste Quine'sche Tabelle vollständig aufgebaut, werden alle Primimplikanten in die zweite Quine'sche Tabelle – die *Primimplikantentafel* – übertragen. Die zweite Quine'sche Tabelle enthält für jede Variablenbelegung der Einsmenge eine separate Spalte sowie für jeden Primimplikanten eine eigene Zeile. Die von einem Primimplikanten abgedeckten Variablenbelegungen werden in der entsprechenden Spalte mit einem Kreuz markiert. Für unsere Beispielfunktion ist die zweite Quine'sche Tabelle in Tabelle 6.8 dargestellt.

Schritt 3: Konstruktion einer minimalen Überdeckung

Ist die zweite Quine'sche Tabelle ausgefüllt, so versuchen wir, analog zur grafischen Minimierung mit KV-Diagrammen, die Einsmenge mit einer minimalen Anzahl von Primimplikanten zu erfassen. Folgerichtig gehen wir auch hier in zwei Schritten vor:

- Zunächst bestimmen wir diejenigen Primimplikanten, die eine Variablenbelegung *alleine* überdecken, da wir diese zur Funktionsdarstellung auf jeden Fall benötigen. In der Primimplikantentafel sind diese Belegungen mit dem puren Auge zu erkennen – wir müssen lediglich nach Spalten suchen, die mit einem einzigen Kreuz markiert sind. In unserem Beispiel decken die Primimplikanten $(-,0,1,1)$, $(-,1,0,1)$, $(0,-,-,1)$ jeweils eine bestimmte Variablenbelegung alleine ab und werden daher vorab ausgewählt.

	x_4	x_3	x_2	x_1	1	3	5	7	11	13
3,11	-	0	1	1		×			×	
5,13	-	1	0	1			×			×
1,3,5,7	0	-	-	1	×	×	×	×		

Tabelle 6.8: In der zweiten Quine'schen Tabelle werden alle Primimplikanten zeilenweise angeordnet. Die Kreuze markieren alle von einem Primimplikanten abgedeckten Elemente der Einsmenge.

- Jetzt fügen wir so lange weitere hinzu, bis eine vollständige Überdeckung erreicht wird. In unserem Beispiel decken bereits die im ersten Schritt ausgewählten Primimplikanten alle Elemente der Einsmenge ab, so dass wir keine weiteren Implikanten benötigen.

Anschließend werden die ausgewählten Primimplikanten in ihre Formeldarstellung übersetzt und disjunktiv verknüpft. So erhalten wir auf einen Schlag eine disjunktive Minimalform. Angewendet auf unsere Beispielfunktion, erhalten wir exakt die gleiche Lösung wie im Fall der Minimierung mit Hilfe von KV-Diagrammen:

$$y = (x_1 \wedge \bar{x}_4) \vee (x_1 \wedge x_2 \wedge \bar{x}_3) \vee (x_1 \wedge \bar{x}_2 \wedge x_3)$$

Im direkten Vergleich mit der grafischen Minimierung nach Karnaugh und Veitch besticht das Verfahren von Quine und McCluskey vor allem durch seine gute Automatisierbarkeit und findet sich in abgewandelter Form in vielen Algorithmen der computergestützten Schaltungssynthese wieder. Bedingt durch seine mechanische Natur kann das Verfahren auf boolesche Ausdrücke mit einer beliebigen Anzahl Variablen angewendet werden.

Minimierung partiell definierter Funktionen

Partiell definierte Funktionen können ebenfalls mit Hilfe des Quine-McCluskey-Verfahrens minimiert werden. Um das Potenzial der Don't-Care-Belegungen optimal zu nutzen, dürfen wir uns entsprechend der Minimierung mit KV-Diagrammen nicht frühzeitig auf einen festen Funktionswert festlegen. Deshalb nehmen wir alle Don't-Care-Belegungen, wie in Tabelle 6.9 demonstriert, zunächst in die erste Quine'sche Tabelle mit auf. Anschließend vervollständigen wir die Tabelle wie bisher durch die sukzessive Zusammenfassung passender Implikanten. Das Beispiel lässt deutlich werden, dass durch die Hinzunahme aller Don't-Care-Belegungen innerhalb der ersten Quine'schen Tabelle erheblich mehr Kombinationsmöglichkeiten entstehen. Je mehr zusammenfassbare Implikanten vorhanden sind, desto höher wird die Wahrscheinlichkeit, auch größere Implikanten bilden zu können.

Die Minimierung boolescher Funktionen fällt in die Klasse der *NP-harten* Probleme. Dies bedeutet für die Praxis, dass die Laufzeit eines Algorithmus, der das Minimierungsproblem exakt löst, exponentiell mit der Anzahl der Variablen der zu minimierenden Schaltfunktion wächst. Genau wie die Methode von Karnaugh und Veitch gehört auch die Vorgehensweise von Quine und McCluskey zu den exakten Verfahren, so dass die Komplexität des Minimierungsproblems die praktische Anwendbarkeit der Algorithmen stark limitiert. In der Praxis wird das Quine-McCluskey-Verfahren deshalb nicht in seiner Reinform eingesetzt. Stattdessen wird der Algorithmus mit zahlreichen Heuristiken kombiniert, die das exponentielle Anwachsen von Speicherplatz und Rechenzeit verhindern. Die Exaktheit des Verfahrens wird aus Komplexitätsgründen bewusst aufgegeben, mit der Konsequenz, dass nicht mehr in jedem Fall die optimale Lösung gefunden wird. Zu den bekanntesten heuristischen Verfahren zur Schaltungsminimierung gehört das an der UC Berkeley entwickelte Espresso-System [63], das sowohl im akademischen als auch im industriellen Umfeld gleichermaßen Verwendung findet.

Implikanten nullter Ordnung:					Implikanten erster Ordnung:					Implikanten zweiter Ordnung:						
	x_4	x_3	x_2	x_1		x_4	x_3	x_2	x_1		x_4	x_3	x_2	x_1		
1	0	0	0	1	✓	1,3	0	0	-	1	✓	1,3,5,7	0	-	-	1
3	0	0	1	1	✓	1,5	0	-	0	1	✓	3,7,11,15	-	-	1	1
5	0	1	0	1	✓	3,7	0	-	1	1	✓	12,13,14,15	1	1	-	-
7	0	1	1	1	✓	3,11	-	0	1	1	✓	5,7,13,15	-	1	-	1
10	1	0	1	0	✓	5,7	0	1	-	1	✓	10,11,14,15	1	-	1	-
11	1	0	1	1	✓	5,13	-	1	0	1	✓					
12	1	1	0	0	✓	7,15	-	1	1	1	✓					
13	1	1	0	1	✓	10,11	1	0	1	-	✓					
14	1	1	1	0	✓	10,14	1	-	1	0	✓					
15	1	1	1	1	✓	11,15	1	-	1	1	✓					
						12,13	1	1	0	-	✓					
						12,14	1	1	-	0	✓					
						13,15	1	1	-	1	✓					
						14,15	1	1	1	-	✓					

	x_4	x_3	x_2	x_1	1	3	5	7	10	11	12	13	14	15
1,3,5,7	0	-	-	1	×	×	×	×						
3,7,11,15	-	-	1	1		×		×		×				×
12,13,14,15	1	1	-	-							×	×	×	×
5,7,13,15	-	1	-	1			×	×				×		×
10,11,14,15	1	-	1	-					×	×			×	×

Tabelle 6.9: Boolesche Minimierung von Don't-Care-Funktionen mit dem Quine-McCluskey-Verfahren. Die oberen drei Tabellen bilden zusammen die erste Quine'sche Tabelle. Unten ist die Primimplikantentafel abgebildet.

Ist die erste Quine'sche Tabelle vollständig konstruiert, übertragen wir alle berechneten Primimplikanten in die zweite Quine'sche Tabelle und bestimmen wie gewohnt eine minimale Überdeckung der *Einsmenge*. An dieser Stelle gilt es zu beachten, dass die Variablenbelegungen der Don't-Care-Menge nicht überdeckt werden *müssen*. Zur besseren Unterscheidung sind die entsprechenden Belegungen in Tabelle 6.9 grau unterlegt. Ein Blick auf die zweite Quine'sche Tabelle zeigt, dass die Elemente der Einsmenge bereits durch einen einzigen Primimplikanten abgedeckt werden, und wir erhalten mit

$$y = x_1 \wedge \overline{x_4}$$

die gleiche Minimalform, die wir bereits weiter oben mit der Hilfe von KV-Diagrammen ermittelt haben.

6.4 Übungsaufgaben

Aufgabe 6.1



Webcode
5865

Ein KV-Diagramm für n -stellige Funktionen wird durch (1)_____faches wechselseitiges (2)_____ und (3)_____ spiegeln konstruiert. Ein KV-Diagramm für n -stellige Funktionen enthält genau (4)_____ Felder. Zwei Blöcke lassen sich genau dann zu einem größeren Block zusammenfassen, falls sie (5)_____ und (6)_____ sind. Ein Block, der nicht mehr vergrößert werden kann, heißt (7)_____. Jeder Block wird durch einen booleschen Ausdruck beschrieben, den sogenannten (8)_____. Zur Erzeugung einer (9)_____ Minimalform wird die Einsmenge mit Primblöcken überdeckt. Durch die Überdeckung der Nullmenge lässt sich in analoger Weise eine (10)_____ Minimalform entwickeln.

Variablenbelegungen, die an den Eingängen einer Schaltung nicht anliegen können oder dürfen, werden als (11)_____ -Belegung bezeichnet und im KV-Diagramm mit (12)_____ markiert. Die entsprechenden Felder werden in der Blockbildungsphase genau dann überdeckt, wenn hierdurch (13)_____ Blöcke entstehen.

In KV-Diagrammen ab (14)_____ Variablen stehen benachbarte Variablenbelegungen nicht mehr in jedem Fall unter- oder nebeneinander. Mit Hilfe dreidimensionaler Diagramme können Funktionen mit maximal (15)_____ Variablen minimiert werden.

Störimpulse, die dann entstehen, wenn sich genau eine Eingangsvariable ändert, werden als (16)_____ bezeichnet. Eine mit Hilfe von KV-Diagrammen minimierte Funktion ist gegen solche Störimpulse abgesichert, wenn es keine (17)_____ Primblöcke gibt. Selbst in abgesicherten Schaltungen können Störimpulse entstehen, die als (18)_____ bezeichnet werden.

Aufgabe 6.2**Webcode****5235**

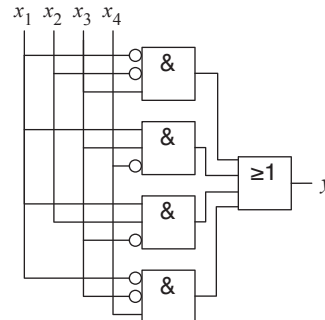
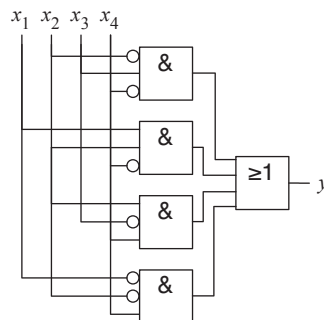
Erzeugen Sie für die beiden unten abgebildeten Funktionen y_1 und y_2 ein KV-Diagramm und berechnen Sie eine disjunktive Minimalform.

	x_3	x_2	x_1	y_1
0	0	0	0	1
1	0	0	1	1
2	0	1	0	1
3	0	1	1	1
4	1	0	0	1
5	1	0	1	0
6	1	1	0	0
7	1	1	1	1

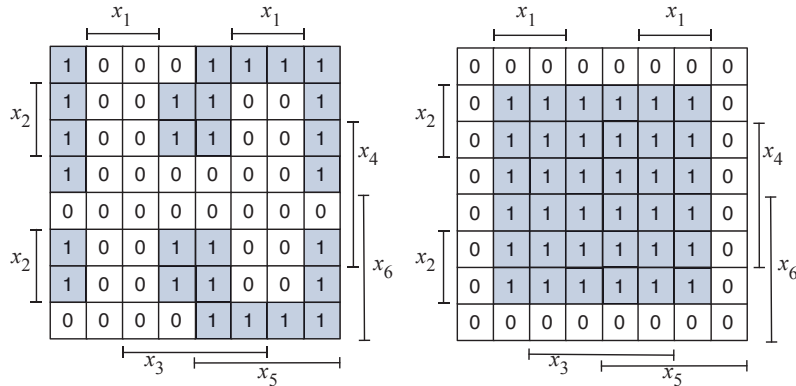
	x_4	x_3	x_2	x_1	y_2
0	0	0	0	0	1
1	0	0	0	1	1
2	0	0	1	0	1
3	0	0	1	1	1
4	0	1	0	0	0
5	0	1	0	1	0
6	0	1	1	0	0
7	0	1	1	1	0
8	1	0	0	0	1
9	1	0	0	1	1
10	1	0	1	0	0
11	1	0	1	1	0
12	1	1	0	0	0
13	1	1	0	1	0
14	1	1	1	0	0
15	1	1	1	1	0

Aufgabe 6.3**Webcode****5421**

Sind die folgenden beiden Schaltnetze äquivalent? Stellen Sie zur Beantwortung der Frage für beide Schaltungen ein KV-Diagramm auf und tragen Sie die Funktionswerte sowie die durch die UND-Glieder repräsentierten Blöcke ein. Was stellen Sie fest?

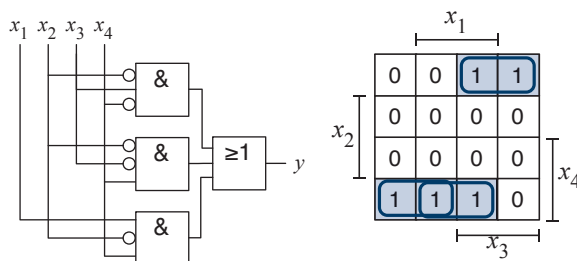


Minimieren Sie die booleschen Funktionen, die durch die folgenden KV-Diagramme gegeben sind:

Aufgabe 6.4**Webcode****5129**

Beachten Sie, dass in KV-Diagrammen mit fünf oder mehr Variablen benachbarte Variablenbelegungen nicht mehr in jedem Fall nebeneinander angeordnet sind und Blöcke dadurch aus verschiedenen Fragmenten zusammengesetzt sein können.

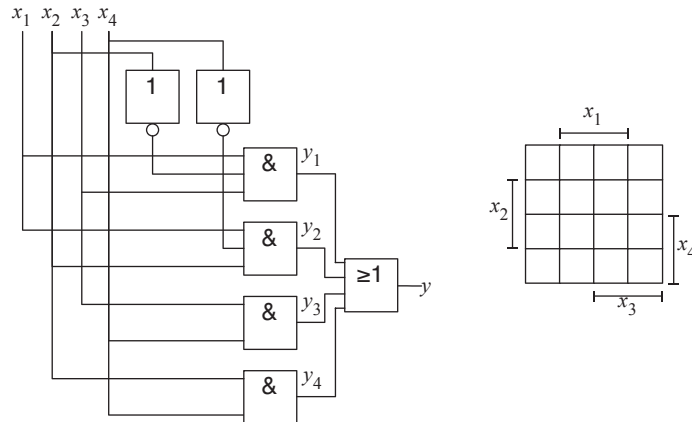
Betrachten Sie das folgende Schaltnetz sowie das zugehörige KV-Diagramm. Ist die Schaltung gegen Logik-Hazards abgesichert? Falls ja, warum? Falls nein, sichern Sie das Schaltnetz gegen Logik-Hazards ab.

Aufgabe 6.5**Webcode****5954**

Aufgabe 6.6

Webcode
5392

Bei dem abgebildeten Schaltnetz handelt es sich um dasjenige, das Sie im Übungsteil des letzten Kapitels bereits auf Hazards untersucht haben. Tragen Sie die implementierte Funktion in das abgebildete KV-Diagramm ein und sichern Sie das Schaltnetz gegen Logik-Hazards ab.



Überprüfen Sie anhand Ihrer Lösung, ob Sie bei Ihrer Analyse im letzten Kapitel alle Hazards gefunden haben.

Aufgabe 6.7

Webcode
5112

In Kapitel 4 haben Sie die Reed-Muller-Normalform kennen gelernt, die eine boolesche Funktion durch die XOR-Verknüpfung mehrerer Basisterme darstellt, die ausschließlich nicht negierte, konjunktiv verknüpfte Variablen enthalten dürfen. Können Sie sich eine Blockbildungsvorschrift vorstellen, mit deren Hilfe sich die Reed-Muller-Normalform aus einem KV-Diagramm extrahieren lässt?

Aufgabe 6.8

Webcode
5343

Geben Sie alle vierstelligen Funktionen an, für die die disjunktive Minimalform gleich der disjunktiven Normalform und gleichzeitig die konjunktive Minimalform gleich der konjunktiven Normalform ist.

Tipp: Überlegen Sie sich hierzu zunächst, wie das KV-Diagramm dieser Funktionen aussehen müsste.